

УДК 535.37

МЕХАНИЗМ ЛЮМИНЕСЦЕНЦИИ КРИСТАЛЛОВ БРОМИДА СЕРЕБРА И ТВЕРДЫХ РАСТВОРОВ НА ИХ ОСНОВЕ

© 2003 А. Н. Латышев, О. В. Овчинников, М. С. Смирнов

Воронежский государственный университет

Разработана новая экспериментальная методика определения механизма фотолюминесценции ионно-ковалентных кристаллов. Она основана на возможности сканирования распределения интенсивности фотостимулированной вспышки люминесценции при наложении на кристалл постоянного электрического поля. Впервые получены прямые доказательства, что низкотемпературная люминесценция кристалла $\text{AgBr}(\text{I})$ в полосе с $\lambda_{\max} = 540 \text{ нм}$ происходит по рекомбинационному механизму Шена–Класенса. Обнаружена фотостимулированная вспышка люминесценции в оранжевой полосе люминесценции с $\lambda_{\max} = 630 \text{ нм}$ в твердых растворах $\text{AgBr}(\text{I})$ и $\text{AgBr}(\text{Cl})$. Показано, что люминесценция в этой полосе происходит по механизму Ламбе–Клика, в результате рекомбинации локализованных на центре свечения электронов со свободными дырками.

ВВЕДЕНИЕ

Люминесцентные методики исследования природы и механизмов уникальной светочувствительности галогенидов серебра оказались наиболее чувствительными и информативными [1—4]. В то же время анализ всех результатов, полученных этими методиками, всегда основывается на том или ином механизме свечения. Как правило, выводы о механизме делаются исходя из косвенных экспериментальных данных. Так, по кривым затухания свечения, а также по их зависимостям от степени возбуждения пытаются отличить рекомбинационное свечение от внутрицентрового. Но в работе [5] показано, что наличие гиперболического закона затухания еще не доказывает рекомбинационность свечения. Не доказывает ее и наличие фотопроводимости [5]. Еще более сложным оказывается доказательство одного из трех возможных рекомбинационных механизмов (Шена–Класенса [6, 7], Ламбе–Клика [8] или Вильямса–Пренера [9]). В работах В. М. Белоуса выводы о механизме рекомбинационного свечения делаются по наличию или отсутствию вспышки и оптического гашения в исследуемой полосе свечения [10—12]. В тоже время, уравнения кинетики в случаях механизмов Шена–Класенса и Ламбе–Клика абсолютно симметричны [13]. Численное решение систем кинетических уравнений [14] показало принципиаль-

ную возможность наблюдать вспышку и гашение люминесценции при любом механизме свечения.

Ярким примером объектов, споры относительно механизма люминесценции которых не прекращаются до сих пор, являются кристаллы бромида серебра. Имеющиеся на сегодняшний день в научной литературе сведения относительно механизма свечения оказываются весьма противоречивыми. Можно встретить, по крайней мере, четыре механизма зеленой полосы люминесценции, обусловленной примесью йода в кристаллах AgBr . В работе [15], используя данные по зависимости вспышки люминесценции при различных энергиях возбуждения, а также из анализа спектров возбуждения люминесценции, температурного тушения и оптического гашения делается вывод о внутрицентровом механизме люминесценции. Рассматривая разрешенные во времени (время разрешения 10 нс) спектры люминесценции и кинетику ее затухания, авторы работы [16] указывают на донорно-акцепторный механизм свечения. В тоже время есть предположение об экзитонном характере люминесценции в этой полосе [17]. И, наконец, в работах [2, 18] по исследованиям температурных зависимостей люминесценции и фотопроводимости доказывается рекомбинационный механизм Шена–Класенса.

МЕТОДИКА ЭКСПЕРИМЕНТА

В данной работе предлагается метод определения механизма люминесценции, основанный на наблюдении фотостимулированной вспышки люминесценции кристалла (ФСВЛ) после создания в нем фотоэлектретных состояний [19, 20]. Возбуждение кристалла, помещенного в постоянное электрическое поле между обкладками конденсатора, УФ-излучением приведет к образованию вблизи обкладок измерительного конденсатора объемных зарядов, создающих обратное электрическое поле. Через некоторое темновое время, после выключения возбуждения и поляризации, воздействие длинноволнового излучения вызовет, с одной стороны, фотодеполяризацию образца, а с другой — вспышку люминесценции [13]. Полная светосумма ФСВЛ — S пропорциональна концентрации зарядов, ионизованных с глубоких центров локализации [21]. Поляризация в электрическом поле при возбуждении люминесценции будет приводить к смещению свободных носителей заряда за время их жизни. Соответственно будут неодинаковыми заполнение центров люминесценции и распределение интенсивнос-

ти ФСВЛ. Определив место наиболее интенсивной вспышки люминесценции, и, зная знак локализованных при фотополяризации кристалла носителей заряда, можно определить механизм люминесценции.

Для исследований применялись монокристаллы AgBr высокой чистоты, выращенные по методу Бриджмена, а также плавленые слои твердых растворов $\text{AgBr}_{0.95}\text{I}_{0.05}$ и $\text{AgBr}_{0.60}\text{Cl}_{0.40}$. Тщательно отполированные пластинки кристаллов плотно зажимались между обкладками конденсатора, через изолирующие тонкие слюдяные прокладки, препятствующие сквозному прохождению электрического тока. Измерительная ячейка располагалась в вакуумном оптическом криостате при давлении 10^{-6} мм рт. ст. и охлаждалась до температуры 77 К. На рис. 1 приведена блок-схема автоматического спектрально-люминесцентного комплекса, используемого в работе, а на вставке — принципиальная схема измерительной ячейки. Спектры стационарной фотoluminesценции и ее фотостимулированной вспышки регистрировались высокочувствительным фотометром на базе дифракционного монохроматора ДМР-4. Применявшийся в качестве фотоприемника

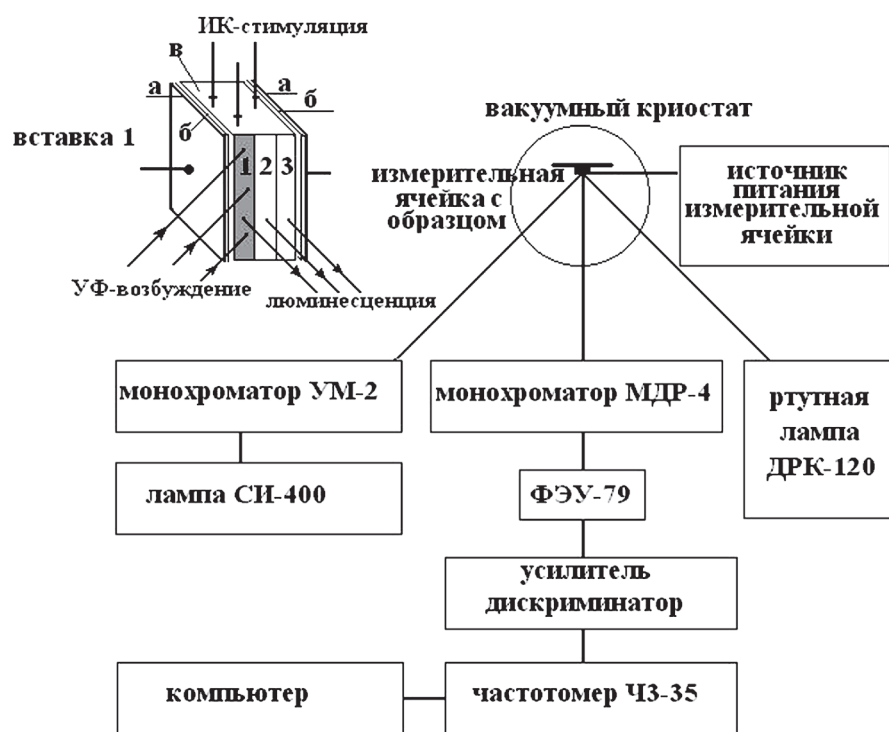


Рис. 1. Блок-схема экспериментального спектрального комплекса для исследования механизма люминесценции ионно-ковалентных кристаллов. На вставке 1 представлена принципиальная схема измерительной ячейки: a — высоковольтные электроды, b — слюдяные прокладки, v — исследуемый образец

ФЭУ-79, работающий в режиме счета фотонов, охлаждался до температуры 253 К.

На обкладки измерительного конденсатора подавалось напряжение 2.5 кВ. Толщина кристалла составляла 2.5 мм. Исходя из экспериментальных данных о подвижности носителей заряда и времени их жизни [2], можно считать что при напряженности электрического поля в 10 кВ/см возможен сдвиг электронов на всю толщину кристалла, а дырок — на меньшие расстояния. В торце кристалла выделялись три области шириной 0.08 см (на вст. 1 они пронумерованы как 1, 2, 3) с помощью щелевой диафрагмы, управляемой системой электрических реле. Стационарная люминесценция, возбуждалась излучением ртутной лампы ДРК-120 ($\lambda_{\max} = 365$ нм) всегда с торца одного и того же участка образца под номером 1. Источником длинноволнового излучения, стимулировавшего вспышку люминесценции, служила лампа СИ-400 в системе с монохроматором УМ-2. Стимуляция вспышки осуществлялась в перпендикулярном к потоку УФ-излучения направлении во всем объеме образца (рис. 1, вст. 1).

Стационарная люминесценция и светосумма вспышки люминесценции регистрировалась на участках под номерами 1, 2, 3 в случаях отсутствия поля и его наличия в двух противоположных направлениях. Таким образом, становилось возможным учесть при относительных измерениях возможные искажения за счет рассеяния возбуждающего света и дрейфового смещения носителей заряда.

РЕЗУЛЬТАТЫ И ИХ ОБСУЖДЕНИЕ

1. Люминесценция и вспышка люминесценции кристаллов AgBr и твердых растворов $\text{AgBr}_{0.95}\text{I}_{0.05}$ и $\text{AgBr}_{0.60}\text{Cl}_{0.40}$

Необходимым условием доказательства механизма люминесценции с помощью предложенной методики является наличие яркой фотостимулированной вспышки люминесценции в исследуемой полосе свечения. В случае чистого монокристалла AgBr хорошо наблюдается лишь оранжевая полоса с $\lambda_{\max} = 630$ нм (рис. 2, кр. 1), обусловленная серебром различной дисперсности [2]. Введение во время синтеза примеси йода в количестве 5 % от концентрации ионов галоида основного вещества приводило к появлению интенсивной зеленой

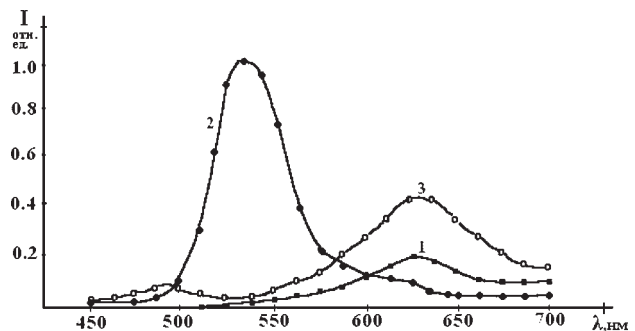


Рис. 2. Спектры стационарной фотолюминесценции монокристалла AgBr плавленых слоев твердых растворов $\text{AgBr}_{0.95}\text{I}_{0.05}$ и $\text{AgBr}_{0.60}\text{Cl}_{0.40}$

полосы люминесценции с $\lambda_{\max} = 540$ нм. Спектр люминесценции плавленого слоя $\text{AgBr}_{0.95}\text{I}_{0.05}$ представлен на рис. 2, кр. 2. В зеленой полосе люминесценции наблюдалась вспышка люминесценции при температуре 77 К. Вспышка нарастала практически мгновенно и быстро затухала. В спектре вспышки наблюдался максимум в области энергий стимуляции 1.6—1.7 эВ. Нами впервые наблюдалась и вспышка люминесценции в оранжевой полосе с $\lambda_{\max} = 630$ нм. Однако низкая интенсивность как самой полосы люминесценции, так и вспышки в ней сделала затруднительным проведение корректных исследований. Поэтому использовался твердый раствор $\text{AgBr}_{0.60}\text{Cl}_{0.40}$. В спектре стационарной люминесценции плавленого слоя $\text{AgBr}_{0.60}\text{Cl}_{0.40}$ наблюдается оранжевая полоса люминесценции с $\lambda_{\max} = 630$ нм и голубая с $\lambda_{\max} = 480$ нм (рис. 2, кр. 3). В данном случае наше предположение обнаружить более интенсивную вспышку люминесценции оправдалось. Таким образом, далее исследовался механизм люминесценции полос $\lambda_{\max} = 540$ нм $\text{AgBr}_{0.95}\text{I}_{0.05}$ и $\lambda_{\max} = 630$ нм для $\text{AgBr}_{0.60}\text{Cl}_{0.40}$.

2. Доказательство механизмов люминесценции

На рисунке 3 представлены диаграммы распределения яркости светосуммы вспышки люминесценции в полосе с $\lambda_{\max} = 540$ нм для плавленого слоя $\text{AgBr}_{0.95}\text{I}_{0.05}$ в торце образца для участков, выделяемых диафрагмой в положениях 1, 2, 3. Диаграмма а соответствует случаю отсутствия поля. Диаграммы б и в — наличия электрического поля в двух противоположных направлениях.

Сравнение этих трех диаграмм свидетельствует о том, что наложение электрическо-

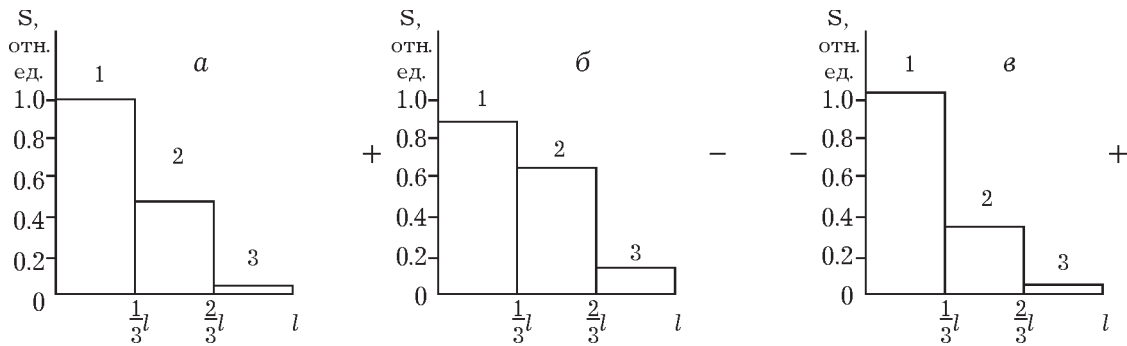


Рис. 3. Распределение полной высвеченной светосуммы ФСВЛ в полосе с $\lambda_{\text{max}} = 540$ нм для $\text{AgBr}_{0.95}\text{I}_{0.05}$ в торце образца: а — без поля (заряды не смещаются); б — дырки смещают в направлении к области 3; в — дырки смещают к области 1. Кристалл возбуждают в положении 1

го поля влияет на интенсивность вспышки люминесценции. Причем диаграммы для случаев поляризации б и в отличаются друг от друга. Наложение электрического поля приводило к уменьшению светосуммы вспышки люминесценции в области 1, к значительному ее увеличению в областях 2 и 3 (диагр. б). При изменении направления электрического поля на противоположное (см. диагр. в) наблюдались несущественные изменения яркости вспышки люминесценции в области 1, некоторое уменьшение в области 2 и отсутствие изменений в области 3. Поскольку в случае б дырки оттягиваются в сторону области 3, а электроны остаются в области 1, при стимуляции вспышки свободные электроны, имеющие большую подвижность, рекомбинируют в местах первоначального расположения дырок с теми из них, которые не успевают после снятия поля сместиться из-за малой подвижности [2]. Полученные результаты указывают на то, что свечение происходит по механизму Шена–Класенса. Это подтверждается и случаем в. Действительно, если дырки

остаются в области 1, а электроны смещаются в область 3, то из-за большой подвижности последних, они после стимуляции вспышки успевают вернуться и рекомбинировать с дырками.

Таким образом, свечение зеленой полосы люминесценции кристаллов $\text{AgBr}(\text{I})$ с $\lambda_{\text{max}} = 540$ нм при температуре 77 К происходит вследствие рекомбинации локализованной на центре свечения дырки со свободным электроном (т.е. по механизму Шена–Класенса).

Другая ситуация складывается в случае исследования механизма люминесценции оранжевой полосы с $\lambda_{\text{max}} = 630$ нм для плавленого слоя $\text{AgBr}_{0.60}\text{Cl}_{0.40}$. Как видно из рис. 4, диаграммы распределения светосуммы вспышки люминесценции различны во всех трех случаях.

Интенсивность вспышки люминесценции для случаев поляризации в двух противоположных направлениях (диаграммы б и в) значительно отличаются друг от друга. Наложение электрического поля в случае б приводило к незначительному уменьшению свето-

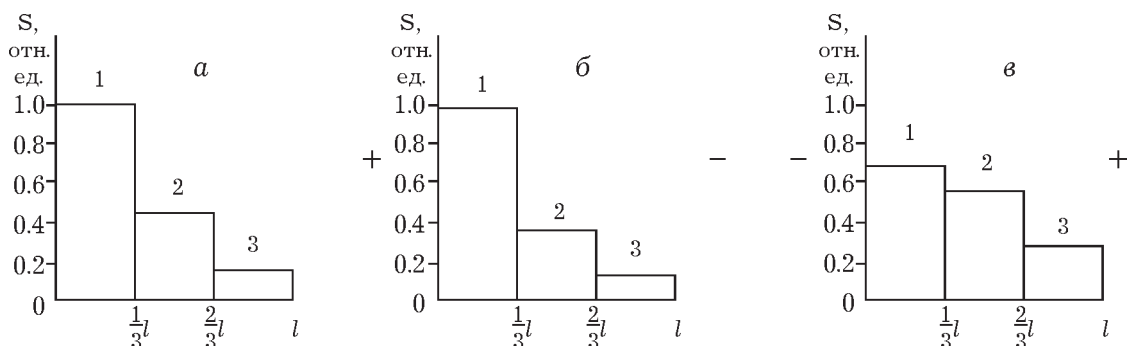


Рис. 4. Распределение полной высвеченной светосуммы ФСВЛ в полосе с $\lambda_{\text{max}} = 630$ нм для $\text{AgBr}_{0.60}\text{Cl}_{0.40}$ в торце образца: а — без поля (заряды не смещаются); б — дырки смещают в направлении к области 3; в — дырки смещают к области 1. Кристалл возбуждают в положении 1

суммы ФСВЛ в области 1 и 2, а в области 3 значение светосуммы практически не изменилось (диагр. б). При изменении направления электрического поля на противоположное (см. диагр. в) яркость вспышки люминесценции меняется значительно во всех трех случаях. В области 1 она уменьшается на 30 %, и увеличивается в области 2 и 3.

Поскольку в случае в электроны оттягиваются в сторону области 3, а дырки остаются в области 1, то при стимуляции вспышки свободные дырки рекомбинируют в местах преимущественного расположения электронов. Вследствие того, что преимущественное количество электронов в случае б остается в области 1, в ней не наблюдается значительных изменений. Уменьшение величины светосуммы ФСВЛ областях 2 и 3, (для случая б) вызвано уходом из них электронов. Вместе с тем, некоторое количество дырок может смещаться в противоположную сторону после снятия поля.

Полученные результаты указывает на то, что свечение в полосе люминесценции $\lambda_{\max} = 630$ нм для плавленого слоя $\text{AgBr}_{0.60}\text{Cl}_{0.40}$ происходит по механизму Ламбе–Клика [7], когда электрон, локализованный на центре свечения рекомбинирует со свободной дыркой. Полученный результат свидетельствует, по-видимому, в пользу аналогичного механизма люминесценции оранжевой полосы в чистом бромиде серебра, а также является примером принципиальной возможности наблюдать фотостимулированную вспышку люминесценции в полосе свечения, работающей по механизму Ламбе–Клика.

Работа выполнена при поддержке гранта Минобразования РФ на проведение молодыми учеными научных исследований в ведущих научно-педагогических коллективах вузов и научных организаций (№ PD02-1.2-310).

СПИСОК ЛИТЕРАТУРЫ

- Чибисов К.В. Природа фотографической чувствительности. М.: Наука, 1980. 404 с.
- Мейклар П.В. Физические процессы при образовании скрытого фотографического изображения. М.: Наука, 1972. 400 с.
- Latyshev A.N.// J. Inf. Recording. 1996. V. 22. P. 339—345.
- Belous V.M.// J. Imag. Sci. & Techn. 1999. V. 43. P. 1—14.
- Антонов-Романовский В.В. Кинетика фотoluminesценции кристаллофосфоров. М.: Наука. 1966, 325 с.
- Klasens H.A., Wise M.E. J. Opt. Soc. Amer., 1948. V. 38. P. 226—234.
- Schon M. // Zs. f. Phys. 1942. V. 119. P. 463—371.
- Lambe J., Klick C.C. // Phys. Rev. 1955. V. 98. P. 909—915.
- Prener J.S., Williams F.E.// J. Phys. Chem. Solids. 1959. V. 8. P. 46—51.
- Белоус В.М., Чибисов К.В. // ДАН СССР. 1969. Т. 187. № 3. С. 593—596.
- Белоус В.М., Дьяченко Н.Г. // Оптика и спектроскопия. 1961. № 10. С. 649—652.
- Белоус В.М. // В кн.: Оптика и спектроскопия. Сб. 1. Люминесценция. — Л.: Изд. АН СССР. — 1963. — С. 193—198.
- Фок М.В. Введение в кинетику люминесценции кристаллофосфоров. М.: Наука, 1964. 284 с.
- Латышев А.Н., Клюев В.Г., Кустов А.И., Ефимова М.А. // Журнал научн. и прикл. фотогр. 2001. Т. 46. № 5. С. 13—17.
- Авдонина Е.Д., Картузянский А.Л., Кехева Т.Э., Плаченов Б.Т. // Оптика и спектроскопия. 1978. Т. 44. № 5. С. 947—951.
- Пешкин А.Ф., Жуков В.В., Суворин В.В. // Докл. АН СССР. 1989. С. 141—145.
- Tsudakoshi M., Kanzaki H. // J. Phys. Soc. Japan. 1971. V. 30. P. 1423—1427.
- Козырева Е.Б., Власов В.Г., Мейклар П.В. // Оптика и спектроскопия. 1969. Т. 36. № 5. С. 843—844.
- Бугриенко В.И., Белоус В.М. // ФТТ. 1962. Т. 4. № 6. С. 1427—1429.
- Бугриенко В.И. // ФТТ. 1964. Т. 6. № 5. С. 1314—1317.
- Латышев А.Н., Кушнир М.А., Бокарев В.В. // Оптика и спектроскопия. 1982. Т. 31. № 2. С. 364—366.